

In Tabella 1 sono riportate le coppie interferometriche di immagini radar i cui risultati vengono mostrati di seguito.

**Tabella 1: Coppie interferometriche co-sismiche utilizzate per l'analisi condotta**

<b>Sensore</b>	<b>Coppia interferometrica</b>	<b>Lunghezza d'onda [cm]</b>	<b>Baseline perpendicolare[m]</b>	<b>Orbita</b>
S1B-S1A	22122018 – 28122018	5.56	65	DISC
S1A-S1B	16122018 – 28122018	5.56	66	ASC
S1A-S1B	22122018 – 28122018	5.56	160	ASC
CSK	23102018 – 26122018	3.12	279	DISC

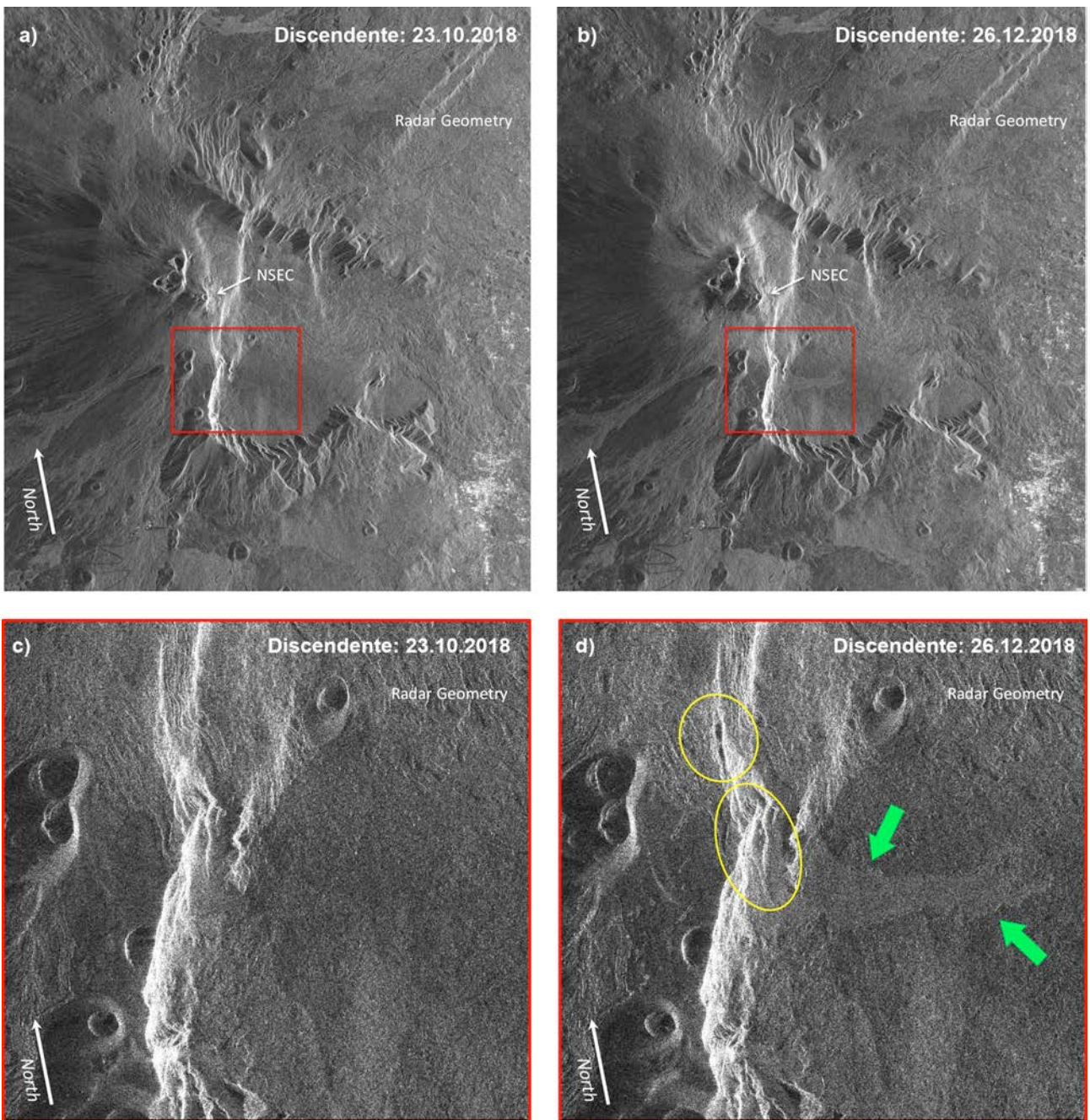


Figura 1 – Confronto tra le immagini di ampiezza CSK, rappresentate in coordinate radar, acquisite prima e dopo gli eventi analizzati; (a) immagine di ampiezza CSK pre-eventi acquisita il 23/10/2018; (b) immagine di ampiezza CSK post-evento acquisita il 26/12/2018 (il box rosso è relativo all'area zoomata nei pannelli (c) e (d)); (c) zoom dell'immagine CSK pre-eventi relativa alla zona interessata dalla frattura e la conseguente colata lavica; (d) zoom dell'immagine CSK post-evento relativa alla zona interessata dalla frattura (evidenziata con le ellissi gialle) e la conseguente colata lavica (evidenziata con le frecce verdi). I dati CSK sono copyright di ASI (2018).

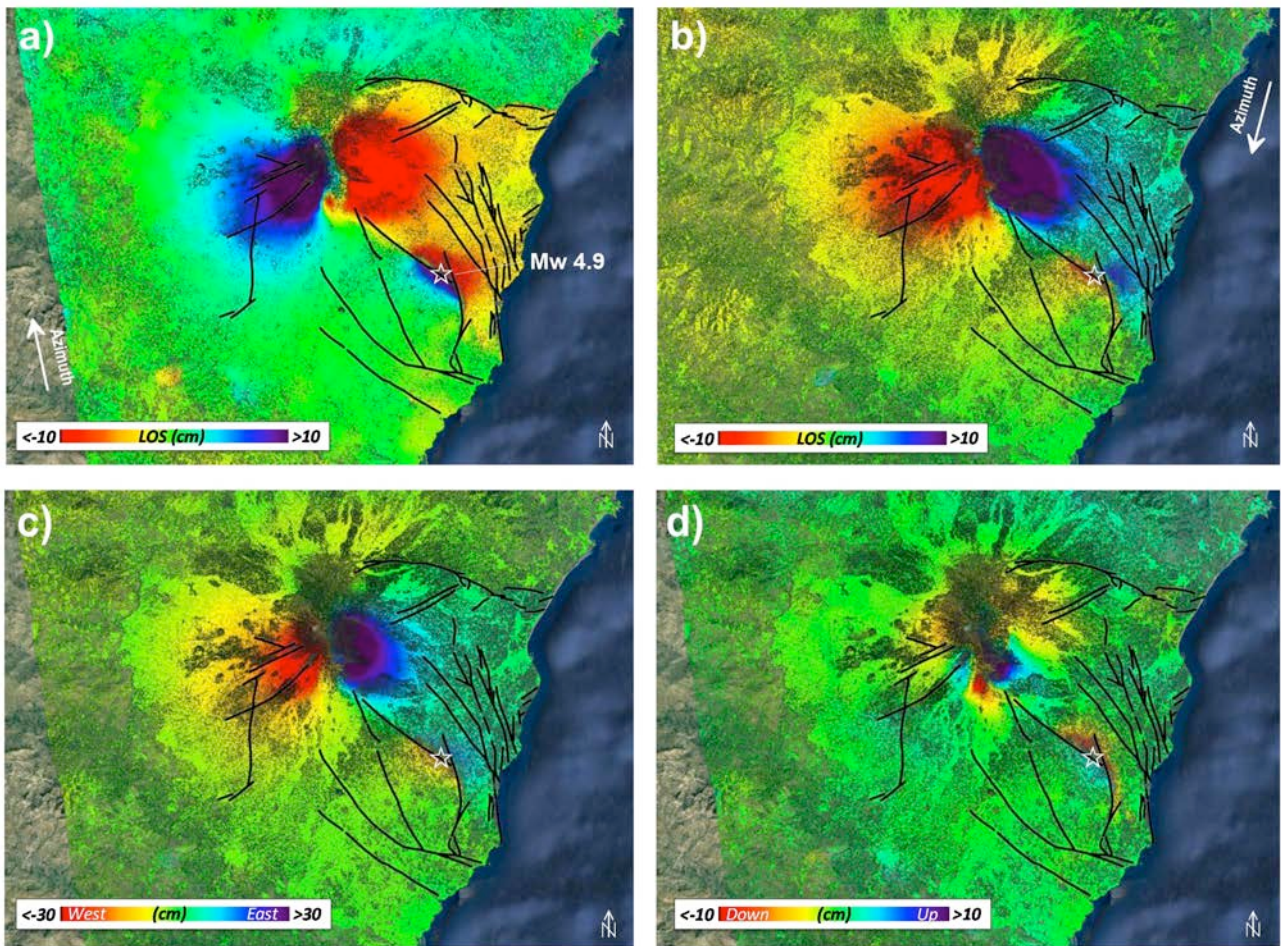


Figura 2 – Mappe di deformazione in LOS ottenute a partire dai dati SAR Sentinel-1 (a,b) e mappe delle componenti orizzontale (in direzione Est-Ovest) e verticale degli spostamenti del suolo stimate a partire dalle mappe LOS (c,d). Nel dettaglio: (a) mappa ottenuta dalla coppia interferometrica S1 ascendente relativa all'intervallo 16122018 – 28122018; (b) mappa ottenuta dalla coppia interferometrica S1 discendente relativa all'intervallo 22122018 – 28122018; (c) componente orizzontale (Est-Ovest) degli spostamenti del suolo misurati; (d) componente verticale. I dati S1 sono copyright di Copernicus (2018).

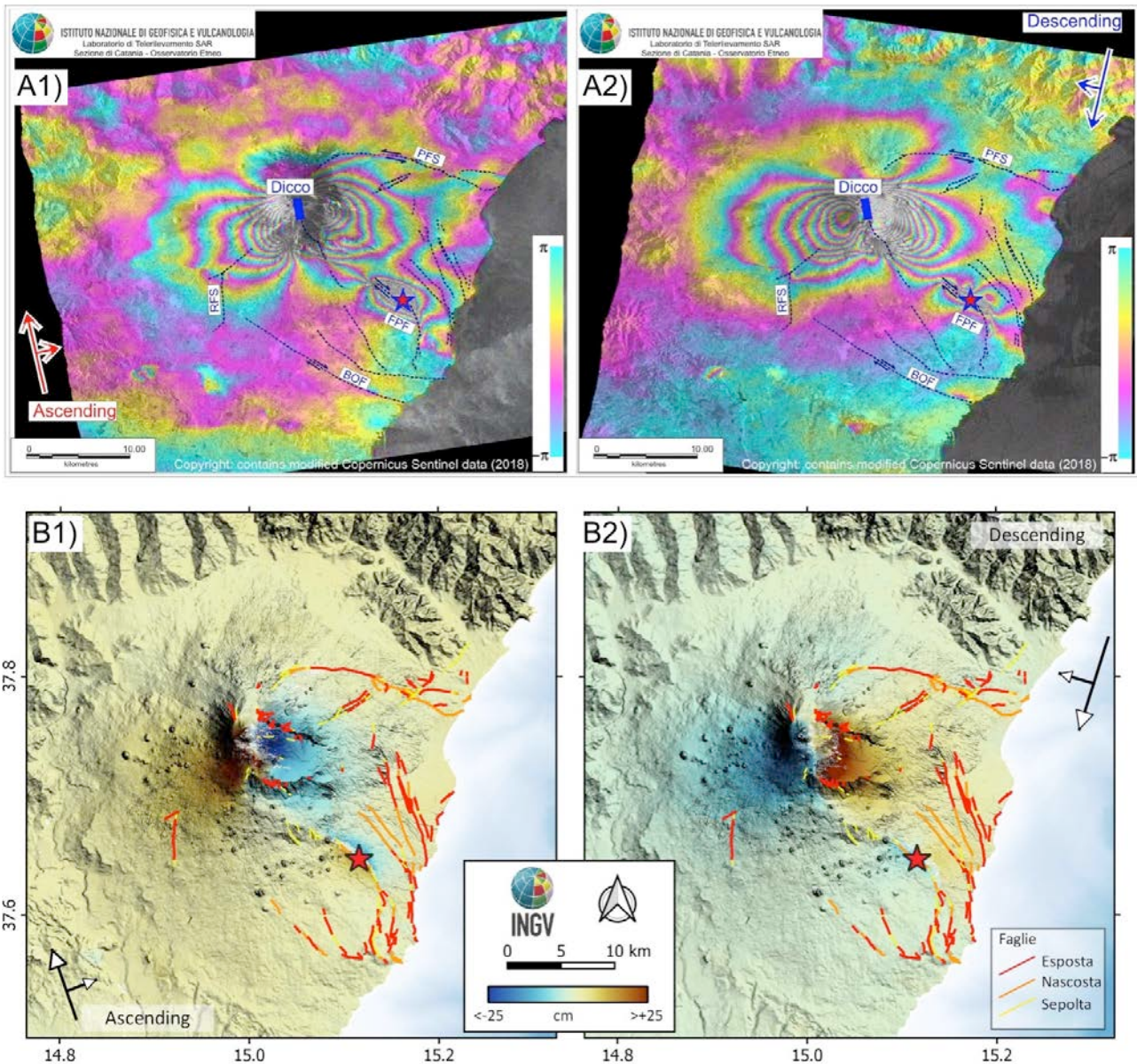


Figura 3 – Interferogrammi in LOS ottenuti dai dati SAR Sentinel-1 e mappe di deformazione in LOS ottenute dagli interferogrammi. Nel dettaglio: (A1) mappa ottenuta dalla coppia interferometrica S1 ascendente relativa all'intervallo 22122018 – 28122018; (A2) mappa ottenuta dalla coppia interferometrica S1 discendente relativa all'intervallo 22122018 – 28122018; (B1) deformazione in LOS corrispondente all'interferogramma A1 e (B2) deformazione in LOS corrispondente all'interferogramma A2. I dati S1 sono copyright di Copernicus (2018).